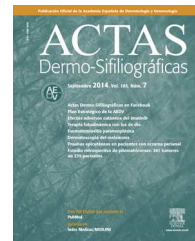




# ACTAS Dermo-Sifiliográficas

Full English text available at  
[www.actasdermo.org](http://www.actasdermo.org)



## CARTAS CIENTÍFICO-CLÍNICAS

### Depósitos cárquicos cutáneos diagnosticados mediante ecografía



### Ultrasound Diagnosis of Calcified Skin Deposits

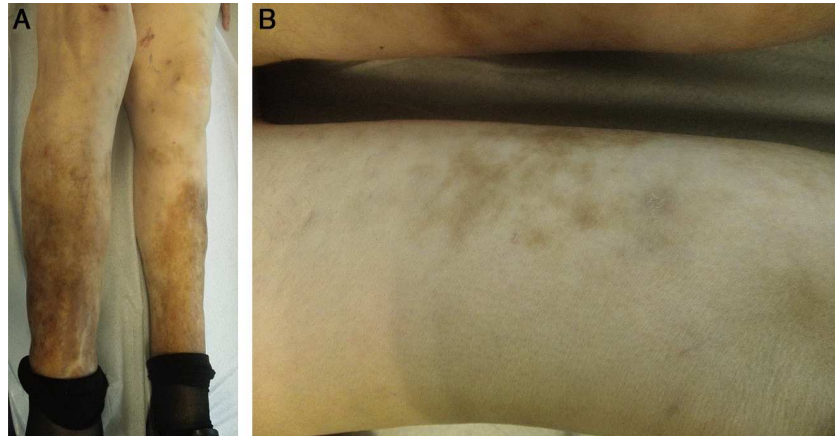
Los depósitos cárquicos en la piel constituyen un trastorno infrecuente<sup>1</sup>. Cuando están formados por hueso maduro con presencia de trabéculas se denomina osificación, mientras que si los depósitos son de material amorfo será calcificación. La demostración de calcio en el estudio histológico es diagnóstica, aunque algunos casos pueden plantear dificultades. La ecografía es una técnica no invasiva, rápida, que proporciona información *in vivo*<sup>2</sup> y que puede ser de gran utilidad para el estudio de estas lesiones. Presentamos el caso de una mujer de 71 años entre cuyos antecedentes personales destacan lupus sistémico, insuficiencia renal e hiperparatiroidismo secundario en tratamiento crónico con risendronato, torasemida, allopurinol y prednisona que acudió a consulta por lesiones dolorosas en las piernas de 4 meses de evolución.

A la exploración física presentaba induración al tacto e hiperpigmentación en ambas piernas (**fig. 1 A**) con nódulos subcutáneos, de consistencia dura, bien delimitados, sobre los cuales se apreciaban máculas eritemato-parduzcas

con patrón reticular (**fig. 1 B**). En la analítica se detectaron hemoglobina 10,7 mg/dl, creatinina 1,8 mg/dl, urea 119 mg/dl, sodio 138 mmol/l, potasio 4,7 mmol/l, parathormona 114 pg/ml, calcio 9 mg/dl, fósforo 3,7 mg/dl, en relación con su enfermedad basal. El estudio ecográfico (Esaote My Lab One, sonda lineal de frecuencia variable 18-22 MHz, resolución lateral 240 μ) demostró engrosamiento e hipoeogenicidad de la dermis sugestivos de inflamación y depósitos hiperecogénicos, con densidad similar al hueso y de morfología lineal, que producían sombra posterior, localizados en la dermis y en el tejido celular subcutáneo (**fig. 2 A**) con ausencia de flujo en el estudio doppler (**fig. 2 B**). En la biopsia cutánea se objetivó tejido fibrotendinoso con cartílago maduro (**fig. 3**).

A pesar de la falta de confirmación histológica, la clínica y el estudio ecográfico apoyaban el diagnóstico de depósitos cárquicos, pero la paciente falleció por rotura de aneurisma de arteria iliaca interna y no se pudieron hacer más estudios.

Las calcificaciones de partes blandas se han asociado a enfermedades reumatólogicas, aunque dentro de este grupo en el lupus eritematoso sistémico se consideran infrecuentes<sup>3</sup>. Desde 1975 se han clasificado en varios subtipos: metastásicas, distróficas, idiopáticas, tumorales y calcifilaxia. Las calcificaciones metastásicas aparecen en tejido sano y se deben a alteraciones en el metabolismo fosfocalcico. Se asocian a hiperparatiroidismo o neoplasias.

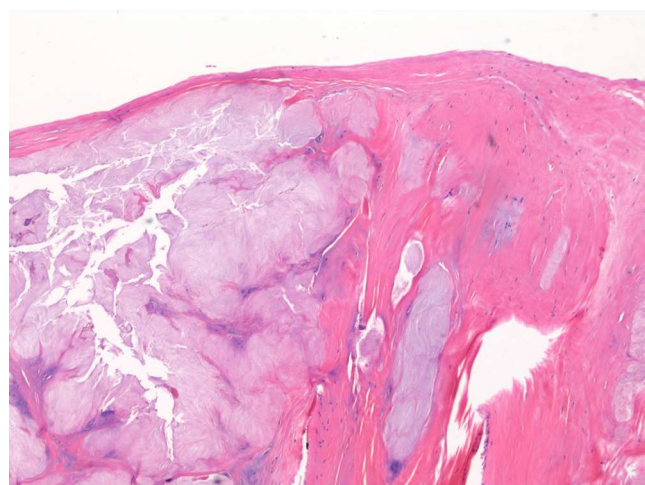


**Figura 1** A. Imagen clínica. Afectación simétrica de ambas piernas con hiperpigmentación. B. Imagen clínica. Nódulos subcutáneos, de consistencia dura, bien delimitados, sobre los cuales se aprecian máculas eritemato-parduzcas con patrón reticular.



**Figura 2** A. Imagen ecográfica. Modo B: corte sagital que evi-  
dencia aumento del grosor de la dermis y disminución de su  
ecogenicidad, compatibles con inflamación y depósitos hiper-  
ecoicos con morfología lineal que producen sombra posterior  
localizados en la dermis y en el tejido celular subcutáneo. B.  
Imagen ecográfica. Estudio doppler: ausencia de flujo.

Las calcificaciones distróficas aparecen en tejidos previa-  
mente alterados sin alteraciones del balance fosfocalcico.  
El lupus, la esclerodermia o la dermatomiositis son algunas  
de sus causas. Las calcificaciones tumorales constituyen un



**Figura 3** Estudio histológico. Hematoxilina-eosina: tejido  
fibrotendinoso con cartílago maduro (aumento × 10).

desorden genético, con lesiones en áreas de presión y pró-  
ximas a las articulaciones. Las calcificaciones idiopáticas se  
presentan en individuos sanos y la calcifilaxia es caracterís-  
tica de enfermos con insuficiencia renal crónica avanzada,  
por calcificación de la pared de los pequeños vasos<sup>4</sup>. Las osi-  
ficaciones son mucho más infrecuentes y aparecen de forma  
primaria (osteodistrofia hereditaria de Albright y osteoma  
cutis) o secundaria en cicatrices, enfermedades del colá-  
geno o lesiones inflamatorias por metaplasia de una lesión  
preexistente<sup>1</sup>. Los depósitos son habitualmente asintomá-  
ticos y constituyen un hallazgo radiológico. Se manifiestan  
desde pápulas o nódulos blanquecinos de consistencia firme  
hasta úlceras cutáneas. Las osificaciones son más duras que  
las calcificaciones. La presentación de lívedo racemosa es  
rara y se asocia a alteraciones del drenaje venoso<sup>5</sup>. En  
casos avanzados pueden producir dolor, inflamación, defor-  
midad articular y atrapamientos nerviosos. El diagnóstico  
diferencial es amplio. En lesiones localizadas habrá que des-  
cartar pilomatrixomas, quistes epidérmicos calcificados o  
reacciones por cuerpo extraño, entre otros, mientras que  
en lesiones extensas, ulceradas y con inflamación habrá que  
excluir paniculitis, lipodermatosclerosis, vasculitis o úl-  
ceras vasculares, con la dificultad añadida de que cualquiera  
de estas dermatosis podría coexistir con los depósitos cál-  
cicos. Desde el punto de vista ecográfico los depósitos son  
hiperecogénicos, con densidad similar al hueso y artefacto  
de sombra acústica posterior en el caso de las osificaciones.  
Las calcificaciones son menos ecogénicas<sup>5</sup>. Los depósitos  
cutáneos suelen ser ovalados, mientras que cuando asientan  
en paredes vasculares son lineales. La ecografía se consi-  
dera de elección para el diagnóstico precoz y seguimiento  
de los depósitos cárnicos, ya que tiene mejor sensibilidad y  
especificidad para detectarlas que la radiografía<sup>6</sup>. La histo-  
logía constituye el *gold standard*; el tratamiento no ha sido  
estandarizado. Para lesiones localizadas se han empleado  
la resección quirúrgica, los corticoides intralesionales, el  
láser de dióxido de carbono e incluso las inmunoglobulinas  
intravenosas, mientras que para depósitos extensos se ha  
experimentado con el diltiazem, el probenecid, la mino-  
ciclina, el hidróxido de aluminio y los bifosfonatos, con  
resultados favorables en casos aislados<sup>7</sup>. No fue posible dife-  
renciar en nuestra paciente si se trataba de calcificaciones  
u osificaciones, pero en nuestra opinión, con la clínica y los  
hallazgos ecográficos, probablemente se trataba de osifica-  
ciones secundarias múltiples. Con la presentación de este  
caso queremos destacar la importancia creciente de la eco-  
grafía cutánea y de sus aplicaciones, en especial cuando se  
trata de depósitos cárnicos, ya que es muy sensible para los  
mismos y puede ser la clave diagnóstica si la histología no  
es concluyente.

## Bibliografía

1. Urbina F, Pérez L, Sudy E, Misad C. Calcificación y osificación cutánea. *Actas Dermosifiliogr.* 2001;92:255-69.
2. Wortsman X. Common applications of dermatologic sonography. *J Ultrasound Med.* 2012;31:97-111.
3. Park YM, Lee SJ, Kang H, Cho SH. Large subcutaneous calcification in systemic lupus erythematosus: Treatment with oral aluminum hydroxide administration followed by surgical excision. *J Korean Med Sci.* 1999;14:589-92.

4. Reiter N, El-Shabrawi L, Leinweber B, Berghold A, Aberer E. *Calcinosis cutis: Part I. Diagnostic pathway.* J Am Acad Dermatol. 2011;65:1-12.
5. Lekich C, Parsi K. *Heterotopic ossification of small saphenous vein and panniculitis ossificans of chronic venous insufficiency presenting with livedo racemosa.* Phlebology. 2013;29: 401-6.
6. Popken F, König DP, Tantow M, Rütt J, Kausch T, Peters KM. *Possibility of sonographic early diagnosis of heterotopic ossification after total hip-replacement.* Unfallchirurg. 2003;106: 28-31.
7. Reiter N, El-Shabrawi L, Leinweber B, Berghold A, Aberer E. *Calcinosis cutis: Part II. Treatment options.* J Am Acad Dermatol. 2011;65:15-22.

M. Lorente-Luna <sup>a,\*</sup>, F. Alfageme Roldán <sup>b</sup>  
y C. González Lois <sup>c</sup>

<sup>a</sup> Servicio de Dermatología, Hospital Central de la Defensa Gómez-Ulla, Madrid, España

<sup>b</sup> Servicio de Dermatología, Hospital Universitario Puerta de Hierro Majadahonda, Madrid, España

<sup>c</sup> Servicio de Anatomía Patológica, Hospital Universitario Puerta de Hierro Majadahonda, Madrid, España

\* Autor para correspondencia.

Correo electrónico: [\(M. Lorente-Luna\).](mailto:m.lorente.luna@gmail.com)

<http://dx.doi.org/10.1016/j.ad.2014.12.020>

## Reacciones granulomatosas a los tatuajes rojos: presentación de 5 lesiones



### Granulomatous Reactions to Red Tattoo Pigments: A Description of 5 Cases

El tatuaje es una práctica con más de 8.000 años de antigüedad y se ha extendido de forma notoria en los países occidentales durante los últimos 30 años<sup>1</sup>.

Como complicaciones a los tatuajes se han descrito la transmisión de enfermedades infecciosas (destacando las micobacterianas, a menudo asociadas al color gris, por el uso de agua no estéril como diluyente de la tinta), la aparición de dermatosis subyacentes por un proceso isomórfico e incluso la presencia de neoplasias en la localización del tatuaje. Por otra parte, la introducción de una sustancia extraña en la piel puede desarrollar una respuesta tóxica o inmunológica<sup>2</sup>.

Las características de los pacientes se recogen en la tabla 1. El primer caso corresponde a una mujer que, tras realizarse un tatuaje con varios colores, inició intenso prurito y sobreelevación de las zonas rojas (fig. 1 A). La siguiente paciente, con antecedentes de granuloma anular en la infancia, inició prurito en las áreas rojas de un tatuaje de varios

colores (fig. 2 A), mostrando zonas sobreelevadas junto con otras erosionadas, observándose salida de material (fig. 2 B). Un mes más tarde aparecieron lesiones maculopapulares parduzcas, adoptando una configuración circinada irregular en el dorso del pie y en el extremo distal de la extremidad inferior izquierda (fig. 2 C). Se realizó estudio anatomo-patológico de las lesiones compatible con granuloma anular. Nuestra tercera paciente se había realizado un tatuaje verde y rojo, que evolucionó con nódulos subcutáneos que se ulceraron en las áreas rojas (fig. 1 B). La cuarta paciente refería, tras 15 días de la realización de un tatuaje en la muñeca derecha, prurito e inflamación en las zonas rojas que evolucionó hasta formar una gran úlcera (fig. 1 C). Cinco meses después de iniciar los síntomas en la muñeca, la paciente refería también inflamación y molestias en un tatuaje antiguo, realizado hacía más de 5 años (fig. 1 D).

Se realizó estudio histológico en las 5 lesiones, mostrando una reacción inflamatoria con presencia de múltiples células gigantes multinucleadas con presencia de pigmento compatibles con granulomas a cuerpo extraño (fig. 3). En todos los casos se realizaron estudios microbiológicos mediante tinciones y cultivos (incluyendo micobacterias) que fueron negativos. En el segundo caso se descartó la presencia de una sarcoidosis sistémica, mediante la determinación en sangre de la enzima convertidora de la angiotensina y una radiografía de tórax.

Tabla 1 Características de las 5 lesiones correspondientes a las 4 pacientes

Lesión	Edad (años)	Sexo	Tiempo desde el tatuaje hasta iniciar sintomatología	Localización	Aspecto clínico	Tratamiento
1	28	Femenino	2 años	Antebrazo D	Eritema, inflamación	Corticoide tópico
2	24	Femenino	4 meses	Dorso pie D	Erosión	Corticoide intralesional
3	23	Femenino	1 mes	Tobillo D	Úlcera	Antibiótico tópico
4	38	Femenino	15 días	Muñeca D	Úlcera	Corticoides orales, intralesionales y tópicos. Exéresis quirúrgica
5			> 5 años	Tobillo I	Eritema, inflamación	